

集合分割問題に対するBalas & Padberg
のアルゴリズムのプログラムデザイン

第1版

城西大(理)

岩村寛三

38頁 1979.1.22.

36頁 1979.6.19.

タイトル	年	月	日	版	承認	査閲	担当	登録番号
								参照番号
	A	B	C	D	E			作成者

目次

1	I. Balas & Padberg のアルゴリズムに対する検討	1
2	II. Balas & Padberg のアルゴリズムの Implementation の やり方	11
2	II.1 概説	11
3	II.2 構造フローチャート(テーブルの更新方法) 形式	15
3	II.3 LP の計算例(コンパクトタブ ロ形式)	21
4	II.4 DCE/E 形式による手計算例	26
4	II.5 LP の計算例(フルタブ ロ形式)	32
4	III 文献	36

終

	A	B	C	D	E
--	---	---	---	---	---

タイトル	年	月	日	版	承認	査閲	担当	登録番号
								参照番号
	A	B	C	D	E			作成者

I. Balas & Padberg のアルゴリズムに対する検討

1. Bland の対策及びその改良論文の結果を集合分割問題に対する Balas & Padberg のアルゴリズムと組合せて有限収束する primal integer algorithm (Young と違うやり方の、pivot 計算だけの、cut を用いない) が生まれたのか？ 1979.2.5.

A	B	C	D	E
---	---	---	---	---

タイトル Balas & Padberg ORSA (1975) Vol 23 74-90	年月日 年月日	版 版	承認 承認	査閲 査閲	担当 担当	登録番号 登録番号
						参照番号 参照番号
						作成者 作成者

A

B

C

D

E

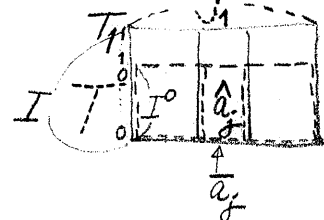
CGP (Column Generating Procedure)

x^1 : basic feasible integer solution to $(P') = \min\{cx | Ax=e, x \geq 0\}$

B_1 : associated basis

$$A \equiv (B_1, R_1), T_1 \equiv B_1^{-1} R_1 = (\bar{a}_{ij}, j \in J_1), I^0 \equiv \{i \in I_1 | x_i^1 = 0\}$$

$I^0 \ni i$: marked $\leftrightarrow \bar{a}_{ij} \in \{0, 1\} (\forall j \in J = \text{current column})$



Start

$$J \equiv J_1, T \equiv (\bar{a}_{ij}, i \in I^0, j \in J), Q_j \equiv \{i\} (\forall j \in J)$$

1: All rows have been marked? YES →

2: Choose any unmarked row r .

$$J^+ \equiv \{j \in J | \bar{a}_{rj} > 0\}, J^- \equiv \{j \in J | \bar{a}_{rj} < 0\}$$

mark

$$\text{row } r \leftarrow J \setminus J^+ \leftarrow \frac{a}{\bar{a}} \quad \text{if } J^+ = \emptyset?$$

$$J \leftarrow J - \{j \in J | \bar{a}_{rj} < 1\} \quad \text{if } J^+ = \emptyset \quad \text{YES} \quad J^+ = \emptyset? \quad \text{NO}$$

c. Choose any $t \in J^+$
and proceed as follows: note $t \notin J^-$

$$(i) S_t \equiv S_t^1 \cap S_t^2 \cap S_t^3$$

$$S_t^1 \equiv \{j \in J^- | \bar{a}_{rt} \bar{a}_{tj} = 0\}$$

$$S_t^2 \equiv \{j \in J^- | \bar{a}_{rj} + \bar{a}_{tj} \geq -1 \text{ for all marked row } h\}$$

$$S_t^3 \equiv \{j \in J^- | Q_j \cup Q_t \text{ cannot be partitioned into } \sum_{s=1}^p Q_s, J = \{j_1, \dots, j_p\} \neq t\}$$

B

4: Construct the full tableau \tilde{T} by computing for each column of \tilde{T} the entries in the nondegenerate rows (indexed by $I \setminus I^0$).

Denote by \tilde{a}_j the column of \tilde{T} corresponding to \bar{a}_j . Then create the final tableau T_f by removing from \tilde{T} all columns \tilde{a}_j that violate the condition $\bar{a}_{ij} \in \{0, 1\} (\forall i \in I \setminus I^0)$.

STOP: T_f yields all integer vertices adjacent to x^1 , each in one pivot.

$$T \leftarrow T \setminus \{\bar{a}_t\} \quad \text{YES } S_t = \emptyset? \quad \text{NO}$$

$$T \leftarrow T + \{\bar{a}_j + \bar{a}_t | j \in S_t\}, Q_k \equiv Q_j \cup Q_t (\forall j \in S_t)$$

$$J \leftarrow J + \{k | Q_k = Q_j \cup Q_t, j \in S_t\}$$

注 [B] は 1 の直前, 2 の直前, 2:a., 2:b. のいずれに入れても

論理上は正しい。Balas & Padberg のフローチャートでは 1 に入ってる。

A

B

C

D

E

integer or not, adjacent to a given vertex, by using Chernikova's algorithm, and then remove the noninteger ones. However, since the number of all adjacent vertices can be vastly superior to that of the integer ones, this does not seem reasonable. In the case of the above numerical example, for instance, Chernikova's procedure generates 10 noninteger vertices adjacent to $x_1=x_3=1, x_j=0, j \neq 1, 3$, in addition to the three integer vertices that were also generated by our procedure.

3. SET PARTITIONING WITHOUT CUTTING PLANES

IN THIS SECTION we describe two algorithms for solving the equality-constrained set covering problem (P'). Both algorithms share the feature that they apply the

TABLE I
AN ILLUSTRATION OF THE COLUMN-GENERATING PROCEDURE

$A = \begin{bmatrix} 1 & 0 & 0 & 0 & 0 & 1 & 1 & 1 & 1 & 0 & 1 \\ 1 & 1 & 0 & 0 & 0 & 0 & 0 & 0 & 1 & 1 \\ 0 & 1 & 1 & 0 & 0 & 1 & 1 & 1 & 0 & 0 \\ 0 & 1 & 1 & 1 & 0 & 0 & 0 & 1 & 1 & 0 & 1 \\ 0 & 0 & 1 & 1 & 1 & 0 & 1 & 0 & 1 & 0 \end{bmatrix}$	$\begin{bmatrix} 1 & 2 & 3 & 4 & 5 & 6 & 7 & 8 & 9 & 10 & 11 \\ (6,10) & (9,10) \end{bmatrix}$	$\begin{bmatrix} 1 & 1 \\ 1 & 1 \\ 1 & 0 \\ 0 & 1 \\ 1 & 1 \end{bmatrix}$
$B_1^{-1} = \begin{bmatrix} 1 & 0 & 0 & 0 & 0 \\ -1 & 1 & 0 & 0 & 0 \\ 1 & -1 & 1 & 0 & 0 \\ 0 & 0 & -1 & 1 & 0 \\ -1 & 1 & 0 & -1 & 1 \end{bmatrix}$	$\begin{bmatrix} 6 & 7 & 8 & 9 & 10 & 11 \\ 1 & 1 & 1 & 1 & 0 & 0 \end{bmatrix}$	$\begin{bmatrix} 1 & 0 \\ 0 & 1 \\ 1 & 1 \\ 0 & 0 \\ 0 & 0 \end{bmatrix}$
$T_1 = B_1^{-1} R_1 = \begin{bmatrix} 2 & 2 & 2 & 1 & -1 & -1 \\ -1 & -1 & -1 & -1 & 1 & 1 \\ -1 & -1 & 0 & 1 & 0 & 1 \\ -1 & 0 & -2 & -2 & 2 & 0 \end{bmatrix}$		$\begin{bmatrix} 1 \\ 0 \\ 0 \\ 0 \\ 0 \end{bmatrix}$
		$B_1^{-1} e = \begin{bmatrix} 1 \\ 0 \\ 0 \\ 0 \\ 0 \end{bmatrix}$

primal simplex method to problem (P') without recourse to cutting planes, and use a column-generating procedure to overcome the difficulties caused by degeneracy. In Algorithm I, the column-generating procedure is geared to producing one 'improving edge' as soon as possible, i.e., a composite column that can be pivoted into the basis so as to yield an integer solution adjacent to, and better than, the current one. In Algorithm II, CGP is used to generate all composite columns that yield an integer solution adjacent to and better than the current one; then, in view of Theorem 4, all remaining columns of the current tableau can be removed. It is not clear at this stage which of the two procedures is preferable, and hybrid algorithms are also feasible.

Both algorithms start by applying the primal simplex method to (P'), and of course one has only to gain if one can simplify (P') before starting. Thus, the various 'reduction rules' proposed in the literature (see, for instance, references 7 and 8) should first be applied to (P'). Also, a good starting solution may be of great help, and any efficient heuristics for finding one can help a lot.

ALGORITHM I

PRIMAL. Apply the primal simplex method to (P') as long as you can pivot on +1 in a nondegenerate row. Whenever this becomes impossible, let \bar{z} be the current (integer) solution.

TABLE II

TABLEAUX FOR THE ILLUSTRATION OF TABLE I

	6	7	8	9	10	11	
2	-1	-1	-1	-1	1	1	
T = T ₁ : 4	-1	-1	0	1	0	1	
5	-1	0	-2	-2	2	0	
	6	7	8	(6, 10)	(8, 10)	(9, 10)	(6, 11) (7, 11)
2	-1	-1	-1	-1	0	0	0
T ₂ : 4	-1	-1	0	1	-1	0	1
5	-1	0	-2	-2	1	0	-1
	6	7	8	(6, 10)	(8, 10)	(6, 11)	(7, 11)
2	-1	-1	-1	0	0	0	0
T ₃ : 4	-1	-1	0	-1	0	0	0
5	-1	0	-2	1	0	-1	0
	6	7	(8, 10)	(6, 11)	(7, 11)		
2	-1	-1	0	0	0	0	0
T ₄ : 4	-1	-1	0	0	0	0	0
5	-1	0	0	-1	0		
	6	7	(8, 10)	(6, 11)	(7, 11)		
2	-1	-1	1	1	1	1	
T ₅ : 1	1	1	1	1	1	1	
3	2	2	1	1	1	1	
	I\I ⁰	6	7	(8, 10)	(6, 11)	(7, 11)	

tion, B the associated basis, I and J the basic and nonbasic index sets, $A = (B, R)$, and $\bar{T} = B^{-1}R$ the current (all-integer) simplex tableau. Let $\bar{a}_{ij}, j \in J$, be the columns of \bar{T} , and $\bar{\epsilon}_j, j \in J$, the reduced costs, with $\bar{\epsilon}_j \geq 0$ required for optimality. If $\bar{\epsilon}_j \geq 0, \forall j \in J$, stop: \bar{z} is optimal for (P) .

	(8, 10) (6, 11) (7, 11)			
1: yes	0	0	0	
2:	0	0	0	
3:	0	0	0	
4: T ₁ , I ⁰	0	0	0	
	1	1	1	1
	2	2	1	1
	3	1	1	1

- $J = \{6, 7, 8, 9, 10, 11\}, I^0 = \{2, 4, 5\}$
 $J = \{6, 7, 8, 9, 10, 11\}, Q_j = \{j\} (\forall j \in J)$
 1:
 2: $r=2, J^+ = \{10, 11\}, J^- = \{6, 7, 8, 9\}$
 2c: $t = 10 \in J^+$
 $S_{10}^1 = \{6, 8, 9\}, S_{10}^2 = J^-, S_{10}^3 = J^-, S_{10} = \{6, 8, 9\}$
 T_1
 $J = \{6, 7, 8, 9, 11, (6, 10), (8, 10), (9, 10)\}$
 2b: $J^+ = \{11\}, J^- = \{6, 7, 8, 9\}$
 2c: $t = 11 \in J^+$
 $S_{11}^1 = \{6, 7\}, S_{11}^2 = J^-, S_{11}^3 = J^-$
 $S_{11} = \{6, 7\}$
 $J = \{6, 7, 8, 9, (6, 10), (8, 10), (9, 10), (6, 11), (7, 11)\}$
 2b: $J^+ = \emptyset$
 $J = J, \text{mark row 2}$
 2: $r=4, J^+ = \{9, (9, 10)\}, J^- = \{6, 7, (6, 10)\}$
 2c: $t = 9 \in J^+$
 $S_9^1 = \emptyset,$
 2c(ii): $S_9 = \emptyset, J = \{6, 7, 8, (6, 10), (8, 10), (9, 10), (6, 11), (7, 11)\}$
 2b: $J^+ = \{(9, 10)\}, t = (9, 10) \in J^+$
 $S_{(9, 10)}^1 = \emptyset,$
 2c(iii): $S_{(9, 10)} = \emptyset, J = \{6, 7, 8, (6, 10), (8, 10), (6, 11), (7, 11)\}$
 2b: $J^+ = \emptyset$
 $J = J, \text{mark row 4}$
 2: $r=5, J^+ = \{(6, 10)\}, J^- = \{6, 8, (6, 10)\}$
 2c: $t = (6, 10) \in J^+$
 2c(i): $S_{(6, 10)}^1 = \emptyset, J = \{6, 7, 8, (8, 10), (6, 11), (7, 11)\}$
 2b: $J^+ = \emptyset$
 $J = \{6, 7, (8, 10), (6, 11), (7, 11)\}$

タイトル CGPの検当	年	月	日	版	承認	査閲	担当	登録番号
								参照番号
								作成者
A	B	C	D	E				

◦ 2:a., 2:b. で YES になる確率は小さい様に思われる。

◦ そろそろ 2:c. の S_t の仮成で S_t^2 は大抵丁一に等しくなってしまう。

断定する為には実験が必要である。

◦ S_t^3 の実用性にも疑問がわく。 S_t^1 で S_t を代用した場合 S_t^1 が S_t より多く違う時はタグローが大きくなってしまう。結局 S_t^1, S_t^2, S_t^3 によってどうくら $\backslash S_t$ が少しくなるかを計量する变数を入れて多数回テストする必要がある。

3

4

5

6

7

all vertices of X_t adjacent to the current vertex \bar{x} , hence in particular all vertices adjacent to and better than \bar{x} , whereas the former guarantees that the tableau consisting solely of composite columns defining such vertices contains all the columns needed to produce an optimal solution.

4. NUMERICAL EXAMPLE

IN THIS SECTION we solve an example by Algorithm I.

Table III gives the vector c and the matrix A for the example.

TABLE III
THE NUMERICAL EXAMPLE

$$c = (5, 4, 3, 2, 2, 2, 3, 1, 2, 2, 1, 1, 1, 0, 0)$$

$$A = \begin{bmatrix} 1 & 0 & 0 & 0 & 0 & 1 & 1 & 1 & 0 & 0 & 1 & 1 & 0 \\ 1 & 1 & 0 & 0 & 0 & 0 & 0 & 0 & 1 & 1 & 0 & 0 & 1 \\ 0 & 1 & 1 & 0 & 0 & 1 & 1 & 1 & 0 & 0 & 1 & 0 & 0 \\ 0 & 1 & 1 & 1 & 0 & 0 & 1 & 1 & 0 & 0 & 0 & 0 & 0 \\ 0 & 0 & 1 & 1 & 1 & 0 & 0 & 1 & 1 & 0 & 1 & 1 & 0 \end{bmatrix}$$

The simplex tableau \tilde{T} : $\begin{matrix} 2 & 3 & 4 & 5 & 6 & 7 & 8 & 9 & 10 & 11 & 12 & 13 & 14 & 15 \end{matrix}$ $\begin{matrix} (4,12) & (15,13) & (15,4) \end{matrix}$

	1	$-x_1$	$-x_4$	$-x_7$	$-x_8$	$-x_9$	$-x_{10}$	$-x_{11}$	$-x_{12}$	$-x_{14}$	$-x_{15}$	
x	-5	3	2	1	1	3	-3	-2	-2	1	-3	
x_{10}	1	1	1	1	1	1	0	0	0	1	0	
x_2	1	1	0	0	0	0	-1	1	0	0	1	
x_3	0	-1	1	1	1	0	-1	-1	1	0	1	
x_4	0	0	-1	-1	0	1	0	1	-1	0	-1	
x_5	0	0	-1	0	-2	-2	2	0	1	-1	1	

The simplex tableau \tilde{T}' :

	1	$-x_1$	$-x_2$	$-x_4$	$-x_7$	$-x_8$	$-x_9$	$-x_{10}$	$-x_{11}$	$-x_{12}$	$-x_{14}$	$-x_{15}$	
z	-3	8	-3	1	0	5	1	-5	2	3	0		
x_{10}	1	2	-1	0	0	1	1	-1	1	1	1	2	1
x_2	0	-1	1	0	0	-1	0	1	-1	0	0	0	1
x_3	1	1	0	1	1	1	0	0	1	1	1	1	1
x_4	0	0	0	-1	-1	1	1	-1	0	1	0	-1	0
x_5	0	-2	2	1	2	-2	-2	3	0	-1	-1	0	0

PRIMAL produces the simplex tableau \tilde{T} of Table III, in which no more pivots are possible on an element $\bar{a}_{ij} = 1$ (such that $\bar{z}_j < 0$).

MCGP. $I^0 = \{3, 4, 5\}$; $J = \{1, 6, \dots, 12, 14, 15\}$.

First iteration: No rows marked. $\bar{z}_t = -3$, $t = 10$; choose $F = 5$. $S_{10}^1 = \{6, 8, 9, 14\}$; $S_{10}^2 = S_{10}^1$; $S_{10}^3 = \{8, 14, 6, 9\}$. $\bar{z}_8 + \bar{z}_{10} = 1 - 3 = -2 < 0$, and $\bar{a}_{88} + \bar{a}_{108}$ satisfies (3').

BLOCK PIVOT introduces x_8 and x_{10} into the basis, replacing \tilde{T} by the simplex tableau T' of Table III.

PRIMAL sends to the next step.

MCGP. $I^0 = \{2, 4, 5\}$, $J = \{1, 3, 6, 7, 9, 11, \dots, 15\}$.

$$S_{12}^1 = \{1, 9, 14\}; S_{12}^2 = J; S_{12}^3 = J$$

First iteration: No rows marked. $\bar{z}_t = -5$, $t = 12$; choose $F = 2$. $S_{12} = \{14, 9, 1\}$. $\bar{z}_{14} = 3 - 5 = -2 < 0$, but $\bar{a}_{4,12} + \bar{a}_{5,14} = 3 - 1 = 2$, violates (3'). $\bar{a}_{44} + \bar{a}_{55} = 5 - 5 = 0$.

Remove column 12 and add columns (14, 12), (9, 12), and (1, 12) to T^1 (not shown in Table III) to obtain the tableau T^2 of Table IV.

Second iteration: No rows marked. $\bar{z}_t = -3$, $t = 3$; choose $F = 2$. $S_3 = \{14, 1\}$.

Remove column 3 and add columns (14, 3), (1, 3) to T^2 to obtain T^3 as shown in Table IV.

Third iteration: The row with index $i = 2$ is marked. $\bar{z}_t = -2$, call $\{14, 12\} = Q_{16}$, so $t = 16$. Choose $F = 5$. $S_{16} = \{15, 11\}$. $\bar{z}_{11} + \bar{z}_{16} = 1 - 2 = -1 < 0$, and $\bar{a}_{11} + \bar{a}_{16}$ satisfies (3').

TABLE IV

TABLEAUX FOR THE NUMERICAL EXAMPLE

	1	3	6	7	9	11	13	14	15	(14,12)	(9,12)	(1,12)	
z_i	-8	-3	1	0	5	1	2	3	0	-2	0	-3	
2	-1	1	0	0	-1	0	-1	-1	0	0	0	0	
T^2 : 4	0	0	-1	-1	1	1	0	0	-1	0	-1	0	
5	-2	2	1	2	-2	-2	0	-1	-1	2	1	1	

	1	6	7	9	11	13	14	15	16	(14,12)	(9,12)	(1,12)	(1,3)	
z_i	8	1	0	5	1	2	3	0	-2	0	3	0	5	
2	-1	0	0	-1	0	-1	-1	0	0	0	0	0	0	
T^2 : 4	0	-1	-1	1	1	0	0	-1	0	-1	0	0	0	
5	-2	1	2	-2	0	-1	-1	2	1	1	1	1	0	

marked

The simplex tableau \tilde{T}'' :

	1	$-x_1$	$-x_2$	$-x_3$	$-x_4$	$-x_5$	$-x_6$	$-x_7$	$-x_8$	$-x_9$	$-x_{10}$	$-x_{11}$	$-x_{12}$	
z	-2	5	4	1	-1	3	2	1	1	-1	0			
x_{10}	0	1	0	-1	-1	0	0	0	-1	-1	0	1		
x_{12}	1	0	1	1	1	0	1	1	1	0	0	0		
x_{14}	1	1	0	0	0	0	0	1	1	1	1	1	0	
x_{11}	1	0	1	1	1	1	0	0	1	1	1	0	0	
x_6	0	-1	-1	1	2	-2	3	0	-1	0	1	1	-1	

BLOCK PIVOT introduces x_{12} , x_{11} , and x_{14} into the basis and produces the simplex tableau T'' of Table IV.

PRIMAL sends to the next step.

MCGP. $I^0 = \{10, 5\}$, $J = \{1, \dots, 4, 6, \dots, 9, 13, 15\}$.

First iteration: No rows marked. $\bar{z}_t = -1$, $t = 13$; choose $F = 5$. $S_{13} = \{15, 2\}$. The next tableau is T^2 of Table V.

Second iteration: No rows marked. $\bar{z}_t = -1$, call $\{15, 13\} = Q_{16}$, so $t = 16$. Choose $S^1 = \emptyset$, $V = 10$, $S^2 = \emptyset$. Remove column 16 to obtain T^3 of Table V.

Third iteration: No rows marked. $\bar{z}_t = -1$, $t = 4$; choose $F = 5$. $S_4 = \{15, 6, 1\}$.

Remove column 4 and add columns (15, 4), (6, 4), and (1, 4) to T^4 to obtain T^4 of Table V.

$$S_{13}^1 = \{3, 15\}; S_{13}^2 = J; S_{13}^3 = J$$

$S = \{6\}$, $S_{17} = \{6\}$. Fourth iteration: No rows marked. $\bar{c}_t = -1$, call $\{15, 4\} = Q_{17}$, so $t = 17$. Choose $T^s = \{5\}$. Remove column 17 and add column $(6, 15, 4)$ to obtain T^s with $\bar{c}_j \geq 0, \forall j \in J$. Hence the solution $x_{11} = x_{12} = x_{14} = 1, x_j = 0$ for $j \neq 11, 12, 14$ is optimal.

ACKNOWLEDGMENTS

WE WISH TO THANK DAVID S. RUBIN for his helpful comments, and in particular for supplying the basic idea for the present version of part (i) of the proof of Theorem 3, which is both shorter and more appealing than the previous version.

TABLE V
ADDITIONAL TABLEAUX FOR THE NUMERICAL EXAMPLE $V \parallel$

	1	2	3	4	6	7	8	9	15	(15,13)	(2,13)
\bar{c}_j	5	4	1	-1	3	2	1	1	0	-1	3
T^s :	10	1	0	-1	-1	0	0	-1	-1	1	0
	5	-1	-1	1	2	-1	0	0	1	-1	0

	1	2	3	4	6	7	8	9	15	(2,13)	
\bar{c}_j	5	4	1	-1	3	2	1	1	0	3	
T^s :	10	1	0	-1	-1	0	0	-1	-1	1	0
	5	-1	-1	1	2	-1	0	0	1	-1	0

	1	2	3	6	7	8	9	15	(2,13)	(15,4)	(6,4)	(1,4)	
\bar{c}_j	5	4	1	3	2	1	1	0	3	-1	2	4	
T^s :	10	1	0	-1	0	0	-1	-1	1	0	0	-1	0
	5	-1	-1	1	-1	0	0	1	-1	0	1	1	1

We also wish to thank the National Science Foundation and the US Office of Naval Research for their support of the first author's research, as well as the Deutsche Forschungsgemeinschaft for its support of the second author's work.

REFERENCES

1. E. BALAS AND M. PADBERG, "On the Set-Covering Problem," *Opsns. Res.* 20, 1153-1161 (1972).

	1	2	3	6	7	8	9	15	(2,13)	(6,4)	(1,4)	(6,15,4)
\bar{c}_j	+5	+4	+1	+3	+2	+1	+1	0	+3	+2	+4	+2
T^s :	10	1	0	-1	0	0	-1	-1	1	0	-1	0
	5	-1	-1	1	-1	0	0	1	-1	0	1	1

2. — AND —, "Adjacent Vertices of the Convex Hull of Feasible 0-1 Points," Management Sciences Research Report #298, November 1972-April 1973, Carnegie-Mellon University (to appear in *SIAM J. Appl. Math.*).
3. C. BERGE, "Balanced Matrices," *Mathematical Programming* 2, 19-31 (1972).
4. E. BURGER, "Über homogene lineare Ungleichungs-Systeme," *Zeitschrift für Angewandte Mathematik und Mechanik* 36, 135-195 (1956).
5. N. V. CHERNIKOVA, "Algorithm for Finding a General Formula for the Nonnegative Solutions of a System of Linear Equations," *USSR Computational Mathematics and Mathematical Physics* 4, 157-158 (1964).
6. —, "Algorithm for Finding a General Formula for the Nonnegative Solutions of a System of Linear Inequalities," *USSR Computational Mathematics and Mathematical Physics* 5, 228-233 (1965).
7. R. GARFINKEL AND G. NEMHAUSER, "The Set-Partitioning Problem: Set Covering with Equality Constraints," *Opsns. Res.* 17, 848-856 (1969).
8. M. PADBERG, "On the Facial Structure of Set Packing Polyhedra," *Mathematical Programming*, 5, 199-215 (1973).
9. —, "Perfect Zero-One Matrices," *Mathematical Programming*, 6, 180-196 (1974).
10. — AND M. R. RAO, "The Travelling Salesman Problem and A Class of Polyhedra of Diameter Two," IIM Preprint No. I/73-5, International Institute of Management, Berlin, Germany.
11. D. S. RUBIN, "Neighboring Vertices on Convex Polytopes," Graduate School of Business Administration, University of North Carolina at Chapel Hill, March 1972.
12. V. A. TRUBIN, "On a Method of Solution of Integer Programming Problems of a Special Kind," *Soviet Math. Dokl.* 10, 1544-1546 (1969).

タイトル	年	月	日	版	承認	査閲	担当	登録番号
								参照番号
								作成者
	A	B	C	D		E		
Algorithm工に対する考察								
1	○ Balas & Padberg の paper の例題でも S_t^2, S_t^3 は何ら効力を持たなかった。							
1	○ S_t^2, S_t^3 によって S_t が小さくなる頻度を数えよ。							
2	○ Row がなかなかマークされない。							
2	○ t 及び l の決定法。 Algorithm工の手書きをデルミナで取って O印の付いた部分を既に実験した方法に直すニ。							
3	○ アレイ CSRT (Sorted cost) を持たないで毎回 largest one を捜した方がよい。							
3	○							
4								
5								
6								
7								
	A	B	C	D		E		

タイトル	年月日	版	承認	査閲	担当	登録番号
Algorithm II (Balas & Padberg)	1979.1.4.					
A	B	C	D	E		参照番号

Composite columns which corresponds to better integer vertex

を検索時にテーブルの大きさがコントロール不可能な程大きくなる

現状では実用的アルゴリズムとは言えない。

$$A = \begin{bmatrix} 1 & 1 & 1 & 1 & 1 & 1 \\ 1 & 1 & 1 & 1 & 1 & 1 \\ 1 & 1 & 1 & 1 & 1 & 1 \\ 1 & 1 & 1 & 1 & 1 & 1 \\ 1 & 1 & 1 & 1 & 1 & 1 \end{bmatrix}$$

$$x_3 = \begin{bmatrix} 1 & 1 & 1 & 1 & 1 & 1 \\ 1 & 1 & 1 & 1 & 1 & 1 \\ 0 & 0 & 0 & 0 & 1 & 1 \\ 0 & 0 & 0 & 0 & 1 & 1 \\ 0 & 0 & 0 & 0 & 1 & 1 \\ 0 & 0 & 0 & 0 & 1 & 1 \end{bmatrix}$$

↑ removed
column
of min
max

$$I^0 = \{3, 4, 5\}, J = \{1, 6, 7, 8, 9, 10, 11, 12, 14, 15\}$$

$$Q_f = \begin{bmatrix} 1 & 6 & 7 & 8 & 9 & 10 & 11 & 12 & 14 & 15 \end{bmatrix}$$

II	タイトル Balas & Padberg のアルゴリズムの Implementation のやり方	年	月	日	版	承認	査閲	担当	登録番号
									参照番号
									作成者
		A	B	C	D			E	

II.1 概 説

1.

H
Q
PQ
CSRT
RVN
(PS, NG)

} は主記憶域に持つ。

2. LP 計算では Bland の退化防止策を組み込む。LP 計算是整数計算の範囲で行なう (Balas & Padberg の原論文参照)。

3. テーブルの更新方法

3. 1 主記憶装置、外部記憶装置どちらにあっても、 $(\sum_{k \in Q} a_k, j: active)$,
 $(\sum_{k \in Q} b_k a_k, j: active)$ のどちらのテーブル上のカラムであっても、MCGP
 で不要となつた時点で、不要と判明したカラムをテーブルから物理的に削除
 するか、不要と判明したカラムをマークするだけとするか？

{ D --- 削除する
M --- マークする

マークの時はマークをスキャンする時間は増えるがテーブルやポインタを
 更新する時間は不要。

A

B

C

D

E

タイトル	年	月	日	版	承認	査閲	担当	登録番号
								参照番号
								作成者
A	B	C		D	E			

4. LPの計算形式

4.1 コンパクトタブロ形式 (Compact tableau form)

1 $B^{-1}a_j, j \in R$ は LP 計算終了時に得られる。

2 B^{-1} は特に計算しない。

4.2 積形式 (Product form)

3 B^{-1} は LP 計算終了時に得られるが $B^{-1}a_j, j \in R$ は LP 計算終了時には得られない。

4 Re-inversion によるベクトルの個数削減は不可能である。

5 $B^{-1}a_j, j \in R$ を LP 計算終了後に計算するのであれば上記 4.1 = 効率負けをする。

6 Composite columns $\sum_{k \in Q_j} \bar{a}_k$ はテーブルに持たない。

4.3 フルタブロ形式 (Full tableau form)

7 $B^{-1}, (B^{-1}a_j, j \in R)$ は LP 計算終了時に得られる。

LP 計算時に要する主記憶域のサイズ (LP フルタブロ用) は

($m+1)*(n+m+1)*il$ バイト

であり (ここで m = 行数, n = 列数, il = 整数の長さ) 上記 4.1, 4.2 のいずれよりも LP 計算時に要する主記憶域サイズは大きいが、以後の MCGP 計算においては上記 4.1, 4.2 の方法に適した方法であっても採用可能である。

タイトル	A	B	C	D	E	年 月 日	版	承認	査閲	担当	登録番号
											参照番号
											作成者

5. 上の計算形式、テーブルを物理的に置く記憶装置の区別(主、外部)

による ワークエリア、I/O転送時間、計算時間 の状況

1 計算の形式	L/P計算終了後の状況	テーブルを物理的に置く記憶装置の区別	ワークエリア	I/O転送時間	計算時間
2 コンパクトタブロ形式(C)	$\bar{a}_j = \bar{B}^{-1}a_j, j \in R$ は計算済。	A等 B ⁻¹ 等	外(E) 外(E)	カラム a_j とカラム \bar{a}_j 用のワークエリアを計2本(よりactive)	a_j と \bar{a}_j を使う毎に a_j と \bar{a}_j を転送
3			外(E) 主(M)	カラム a_j 用のワークエリア1本	a_j を使う毎に a_j を転送
4			主(M) 主(M)	なし	なし
5 横形式(P)	\bar{B}^{-1} は計算済み。 B^{-1} の行情報が容易に取り出せるものとする。	外(E) 外(E)	外(E) 主(M)	カラム a_j 用1本 B^{-1} の行用1本 カラム \bar{a}_j 用1本 カラム a_j 用1本 カラム \bar{a}_j 用1本	a_j と \bar{a}_j を使う毎に a_j と B^{-1} を転送 a_j と \bar{a}_j を使う毎に a_j を転送
6			外(E) 主(M)	カラム a_j 用1本 カラム \bar{a}_j 用1本	a_j を使う毎に a_j を転送
7			主(M) 主(M)	なし	a_j を使う毎に a_j を転送

タイトル	年	月	日	版	承認	査閲	担当	登録番号
								参照番号
	A	B	C	D	E			作成者

6. 上述 3., 4., 5. による implementation の種類と表示法

1 テーブルの更新方法

L
P の
計算形式

1 テーブルを物理的に置く
記憶装置の区別

2 A 等 B⁻¹ $\bar{a}_j, j \in R$
等

3 {D}
M

C

3 E / E

M / M

P

E E /

M /

M M /

H

E E E M / / E M M

E E E M / /

E E M M / /

A

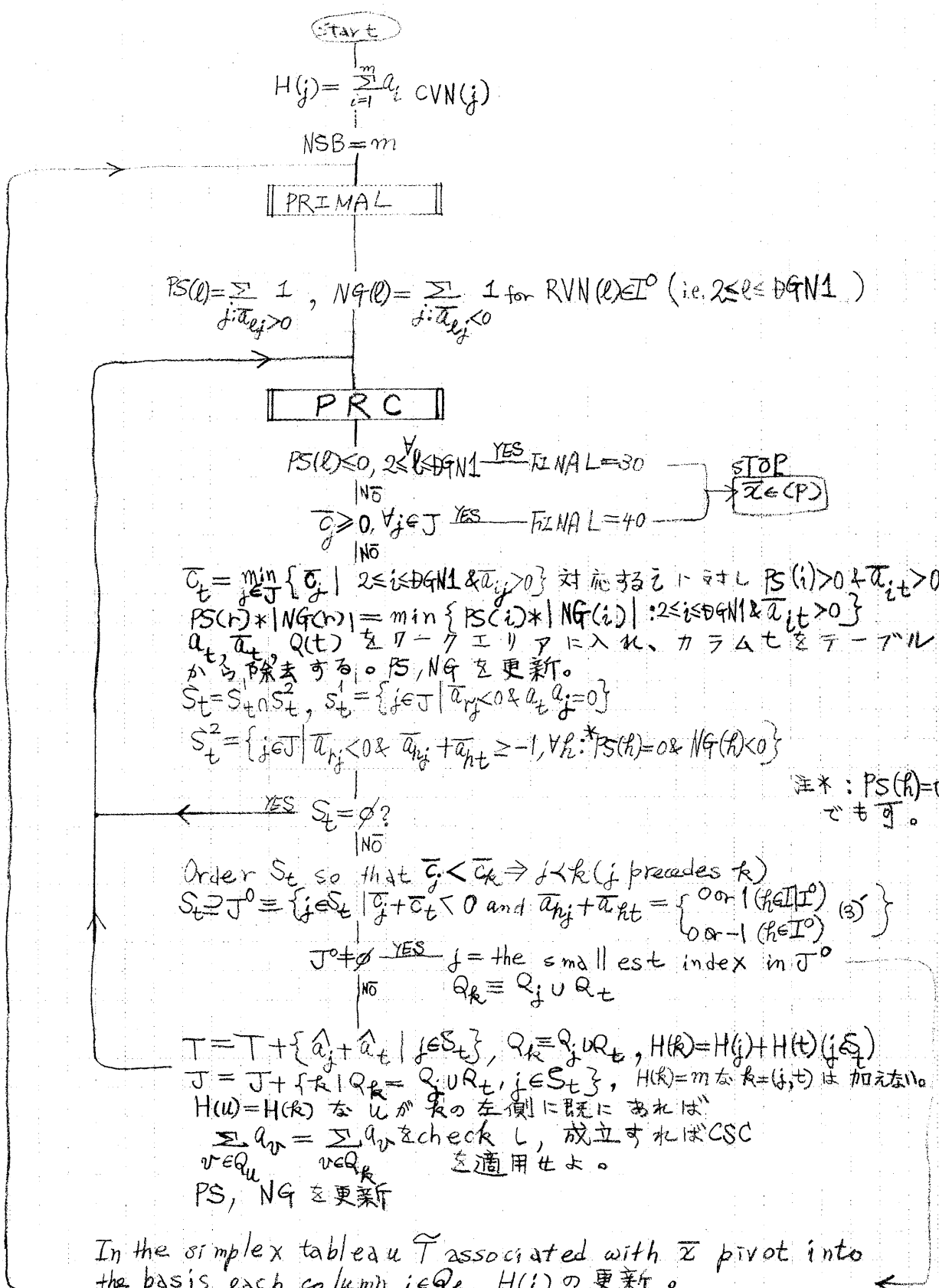
B

C

D

E

II.2	タイトル (テーブルの更新方法) 形式 概略フロー図	年	月	日	版	承認	査閲	担当	登録番号
									参照番号
									作成者
		A	B	C	D			E	

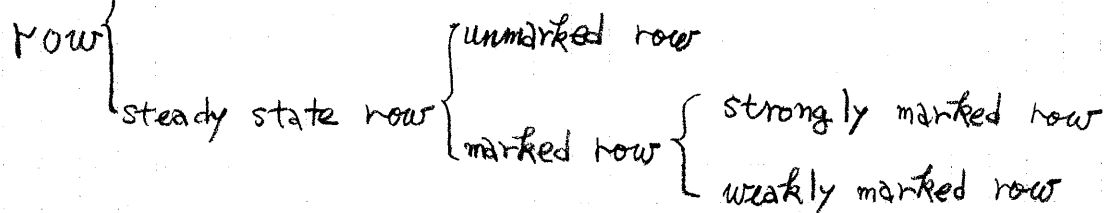


A	B	C	D	E
---	---	---	---	---

タイトル	年	月	日	版	承認	査閲	担当	登録番号
PRC								
								参照番号
								作成者
A	B	C	D	E				

process transient state row and process column

transient state row



2 PS(l) = position l にある row の正の成分の個数. ($\forall l \in I^0, \exists j_1 \leq l \leq j_N$)

Note. $PS(l) = 0 \Leftrightarrow \bar{a}_{lj} \leq 0, \forall j \in J$

3 $NG(l) = \begin{cases} \text{position } l \text{ にある row の負の成分の個数 (RVN}(l) \in I^0 \text{ & } l: \text{unmarked}) \\ -(\text{position } l \text{ にある row 成分の } -1 \text{ の個数})(RVN(l) \in I^0 \text{ & } l: \text{weakly marked}) \end{cases}$

PS(l)	NG(l)	0	正	負, $= -\#\{j \mid \bar{a}_{lj} = -1\}$
0	$\bar{a}_{lj} = 0 (\forall j \in J)$ $\downarrow l: W.M.$	$\bar{a}_{lj} \leq 0 (\forall j \in J)$	$\leftarrow \bar{a}_{lj} \leq 0 (\forall j \in J) \rightarrow \bar{a}_{lj} \neq 0 \Rightarrow \bar{a}_{lj} = -1$	$\downarrow l: S.M.$
正	$\bar{a}_{lj} \geq 0 (\forall j \in J)$	$\bar{a}_{lj} > 0 (\exists j \in J)$	$\bar{a}_{lj} \approx 0 (\exists j \in J)$	

注: カラムの除去だけでは起らぬ。

unmarked

row

① $PS(l) > 0 \& NG(l) > 0 \stackrel{?}{\Rightarrow} ② PS(l) = 0 \& NG(l) = 0 \stackrel{\text{def.}}{\Leftrightarrow} l: \text{strongly marked row}$

④ $\exists j: \text{steady state}$

無印: transient state

$PS(l) > 0 \& NG(l) = 0$

直ちに, $\bar{a}_{lj} > 0$ を $\bar{a}_{lj} < 0$ を除去, ふはぬある。

③ $PS(l) = 0 \& NG(l) < 0 \& (\bar{a}_{lj} < 0 \Rightarrow \bar{a}_{lj} = -1) \stackrel{\text{def.}}{\Leftrightarrow} l: \text{weakly marked row}$

直ちに, $\bar{a}_{lj} < -1$ を $\bar{a}_{lj} < 0$ を除去, ふはぬかを知れぬ。

A	B	C	D	E

タイトル テーブルの更新方法と形式 計算方式 PRC		年月日	版	承認	査閲	担当	登録番号																									
		<u>process flow and column</u>					参照番号																									
							作成者																									
A	B	C	D	E																												
1	$P(l) > 0 \& NG(l) = 0$	$\bar{a}_{l,k} > 0$ なら削除		$\bar{a}_{LL,k}$																												
2	$ \begin{array}{c} \begin{array}{c} \begin{array}{ccccc} - & + & 0 & & \\ 0 & + & + & 0 & 0 & 0 \\ l \rightarrow 0 & 0 & + & + & + & 0 \\ - & - & 0 & & & \\ 0 & 0 & 0 & 0 & 0 & 0 \\ -1 & -1 & 0 & -1 \end{array} \\ \wedge \wedge \wedge \wedge \end{array} \end{array}$			<table border="1"> <thead> <tr> <th colspan="2"></th> <th>+</th> <th>0</th> <th>-</th> </tr> </thead> <tbody> <tr> <td>PS</td> <td>1減</td> <td>何もしない</td> <td>NGを1減</td> </tr> <tr> <td>FS</td> <td>1減</td> <td>何もしない</td> <td>不可能</td> </tr> <tr> <td>S</td> <td>不可能</td> <td>何もしない</td> <td>NGを1減</td> </tr> <tr> <td>N</td> <td>不可能</td> <td>何もしない</td> <td>不可能</td> </tr> <tr> <td>G</td> <td>不可能</td> <td>何もしない</td> <td>NGを1増</td> </tr> </tbody> </table>			+	0	-	PS	1減	何もしない	NGを1減	FS	1減	何もしない	不可能	S	不可能	何もしない	NGを1減	N	不可能	何もしない	不可能	G	不可能	何もしない	NGを1増			
		+	0	-																												
PS	1減	何もしない	NGを1減																													
FS	1減	何もしない	不可能																													
S	不可能	何もしない	NGを1減																													
N	不可能	何もしない	不可能																													
G	不可能	何もしない	NGを1増																													
3	<ul style="list-style-type: none"> RHS を除いた全てのカラムに対して $\bar{a}_{l,k} > 0$ ならば Optimal stop, FINAL=20. $\bar{a}_{l,k} = 0$ のカラムが RHS 以外にもあれば上記(PS, NG)の更新を行なう。 			<p>作業終了後 K+1 (K<N の時) から Nまでのタブローを左へ1つ移動し N=N-1 と更新する。</p> <p>K=N の時は移動を行なわず N=N-1 と更新する。</p> <p>作業終了後のタブローの左1つ移動</p>																												
4	$P(l) = 0 \& NG(l) > 0$	$\bar{a}_{l,k} < 0$ なら削除		$\bar{a}_{LL,k}$																												
5	$ \begin{array}{c} \begin{array}{cccccc} & & & & & \\ & & & & & \\ l \rightarrow 0 & 0 & -2 & -1 & 0 & -3 & -1 \\ & & \wedge & \wedge & & & \end{array} \end{array} $			<table border="1"> <thead> <tr> <th colspan="2"></th> <th>+</th> <th>0</th> <th>-</th> </tr> </thead> <tbody> <tr> <td>PS</td> <td>1減 PSを1減</td> <td>何もしない</td> <td>NGを1減</td> </tr> <tr> <td>FS</td> <td>1減</td> <td>何もしない</td> <td>不可能</td> </tr> <tr> <td>S</td> <td>不可能</td> <td>何もしない</td> <td>NGを1減</td> </tr> <tr> <td>N</td> <td>不可能</td> <td>何もしない</td> <td>不可能</td> </tr> <tr> <td>G</td> <td>不可能</td> <td>何もしない</td> <td>NGを1増</td> </tr> </tbody> </table>			+	0	-	PS	1減 PSを1減	何もしない	NGを1減	FS	1減	何もしない	不可能	S	不可能	何もしない	NGを1減	N	不可能	何もしない	不可能	G	不可能	何もしない	NGを1増			
		+	0	-																												
PS	1減 PSを1減	何もしない	NGを1減																													
FS	1減	何もしない	不可能																													
S	不可能	何もしない	NGを1減																													
N	不可能	何もしない	不可能																													
G	不可能	何もしない	NGを1増																													
6	<ul style="list-style-type: none"> RHS を除いた全てのカラムに対して $\bar{a}_{l,k} < 0$ ならば Optimal stop, FINAL=25 $\bar{a}_{l,k} = 0$ のカラムが RHS 以外にもあれば上記(PS, NG)の更新を行なう。 			<p>作業終了後のタブローの左1つ移動を行なう。</p> <p>$NG(l) = -NG(l)$ と更新</p>																												
7	A	B	C	D	E																											

タイトル	年	月	日	版	承認	査閲	担当	登録番号
PRC process row and column								参照番号
	A	B	C	D				作成者
1								1
2								2
3								3
4								4
5								5
6								6
7								7
	A	B	C	D				E

```

graph TD
    Start((Start)) --> NP1GT1((NP1.GT.1))
    NP1GT1 -- NO --> FINAL[FINAL = 20]
    FINAL --> STOP((STOP))
    NP1GT1 -- YES --> DO["DO α l=2, DGN1"]
    DO --> PSQ1{PS(l) > 0 & NG(l) = 0 ?}
    PSQ1 -- YES --> URST1K[URST1(k)]
    PSQ1 -- NO --> Kplus1[K = K + 1]
    URST1K --> KLENP1{K.L.E. NPI}
    KLENP1 -- YES --> PSQ2{PS(l) EQ 0 ?}
    PSQ2 -- YES --> CONTINUE[CONTINUE]
    PSQ2 -- NO --> JERR[JERR]
    KLENP1 -- NO --> NGQ1{NG(l) GE 0 ?}
    NGQ1 -- NO --> JERR
    NGQ1 -- YES --> NGneg[NG(l) = -NG(l)]
    CONTINUE --> RETURN[RETURN]
    RETURN --> End((End))
  
```

タイトル	年	月	日	版	承認	査閲	担当	登録番号
UPSNG(K)								参照番号
Update PS and NG								作成者
A	B	C	D	E				
1								1
2								2
3								3
4								4
5								5
6								6
7								7

```

graph TD
    Start((Start)) --> A[DO β LL=2, DEFTN1]
    A --> B{Q(LL, K)}
    B --> C{NG(LL) ≠ 0?}
    C --> D{K.EQ.NP1}
    D --> E{KK = KP1, NP1}
    E --> F{Q(LL, KK-1) = Q(LL, KK)}
    F --> G[N = N - 1  
NP1 = NP1 - 1]
    G --> H[RETURN]
    H --> End((End))
    B --> JERR1{NO (PS(LL) > 0?)}
    JERR1 -- YES --> PS1[PS(LL) = PS(LL) - 1]
    PS1 --> B
    JERR1 -- NO --> JERR2{JERR = NO}
    C --> NG1{NG(LL) > 0?}
    NG1 -- YES --> NG1_minus[NG(LL) = NG(LL) - 1]
    NG1_minus --> C
    NG1 -- NO --> NG1_plus[NG(LL) = NG(LL) + 1]
    NG1_plus --> C
    C --> JERR3{JERR = NO}
    D --> KP1[KP1 = KP1 + 1]
    D --> E
    E --> F
    F --> G

```

タイトル		年	月	日	版	承認	査閱	担当	登録番号
									参照番号
									作成者
コモン変数一覧		A	B	C	D	E			
名前	型	意味							
NS B	INT2	1	Number of slack and basic variables						
DGN	INT2	1	Primal終了後の $\#\{i \mid T_{ij} = 0\}$ i.e. Degeneracy						
DGN1	INT2	1	$LV(l) \in I^0 (1 \leq l \leq DGN)$, $LV(l) \in I \setminus I^0 (DGN+1 \leq l \leq MP1)$ の様に行 交換を行なう。即ち $DGN1 = DGN + 1$						
MP1	INT2	1	M + 1						
NP1	INT2	1	N + 1						

タイトル	年	月	日	版	承認	査閱	担当	登録番号
Ⅱ.3	コンパクトタブ"口形式によるLPの計算例							参考番号
	G. N. p.315 Example							作成者 岩木
A	B	C	D	E				
1	1 2 3 4 5 6 7 8 $x_1 x_2 x_3 x_4 x_5 x_6 x_7 x_8 x_9 x_{10} x_{11} x_{12} x_{13}$ 収入 3 7 5 8 10 4 6 9 53 53 53 53	Min.	$\sum_{j=1}^8 c_j + 1 = 53$ $53 \times 2 = 106$ $53 \times 5 = 265$					
2	$\begin{array}{ccccccccc} -x_1 & -x_2 & -x_3 & -x_4 & -x_5 & -x_6 & -x_7 & -x_8 \\ -265 & -50 & -99 & -48 & -98 & -96 & -102 & -100 & -44 \\ x_9 & 1 & 1 & 1 & & & & & \\ x_{10} & 1 & & & 1 & 1 & 1 & & \\ x_{11} & = 1 & & & & 1 & 1 & 1 & \\ x_{12} & 1 & & & & & 1 & 1 & \\ x_{13} & 1 & & 1 & 1 & & & & \end{array}$	Row で引分けの時は右の口が最大である行を採用する。 人為変数が一度 base-out されたら以後決して base-in させぬこと。	$\bar{x} = -Cx = -G_B^{-1}b + (I - G_B^{-1}V)(-x_f)$ $x_I = B^T e + B^T R(-x_f)$					
3	$\begin{array}{ccccccccc} -x_1 & -x_2 & -x_3 & -x_4 & -x_5 & V & -x_7 & -x_8 \\ -163 & -50 & +3 & -48 & +4 & -96 & +102 & -100 & -44 \\ x_9 & 1 & 1 & 1 & & & & & \\ x_{10} & 1 & & 1 & 1 & 1 & & & \\ x_{11} & = 0 & & -1 & -1 & 1 & -1 & & \textcircled{1} \\ x_{12} & 1 & & & & & 1 & 1 & \\ x_6 & 1 & & 1 & 1 & & 1 & & \end{array}$							
4	$\begin{array}{ccccccccc} -x_1 & -x_2 & -x_3 & -x_4 & -x_5 & V & V & -x_8 \\ -163 & -50 & -97 & -48 & -96 & 4 & 2 & 100 & -44 \\ x_9 & 1 & 1 & 1 & & & & & \\ x_{10} & 1 & & 1 & 1 & 1 & & & \\ x_7 & 0 & & -1 & -1 & 1 & -1 & 1 & \\ x_{12} & 1 & & \textcircled{1} & 1 & -1 & 1 & -1 & 1 \\ x_6 & 1 & & 1 & 1 & 1 & 1 & & \end{array}$							
5	$\begin{array}{ccccccccc} -x_1 & -x_2 & -x_3 & -x_4 & -x_5 & V & V & -x_8 \\ -163 & -50 & -97 & -48 & -96 & 4 & 2 & 100 & -44 \\ x_9 & 1 & 1 & 1 & & & & & \\ x_{10} & 1 & & 1 & 1 & 1 & & & \\ x_7 & 0 & & -1 & -1 & 1 & -1 & 1 & \\ x_{12} & 1 & & \textcircled{1} & 1 & -1 & 1 & -1 & 1 \\ x_6 & 1 & & 1 & 1 & 1 & 1 & & \end{array}$							
6	$\begin{array}{ccccccccc} -x_1 & V & -x_3 & -x_4 & -x_5 & V & V & -x_8 \\ -66 & -50 & +97 & -48 & +1 & -93 & +99 & +3 & +53 \\ x_9 & 0 & 1 & -1 & -1 & \textcircled{1} & -1 & 1 & -1 \\ x_{10} & 1 & & 1 & 1 & 1 & & 1 & \\ x_7 & = 1 & & 1 & 1 & 1 & & 1 & \\ x_{12} & 1 & & 1 & -1 & 1 & -1 & 1 & \\ x_6 & 0 & & -1 & & 1 & 1 & -1 & \end{array}$							
7								
	A	B	C	D	E			

タイトル		年	月	日	版	承認	査閲	担当	登録番号
									参照番号
									作成者
		A	B	C	D	E			
1									
1									
1									
1									
1									
1									
1									
2									
2									
2									
2									
2									
2									
3									
3									
3									
3									
3									
4									
4									
4									
4									
4									
5									
5									
5									
5									
5									
6									
6									
6									
6									
6									
7									
7									
7									
7									
7									
		A	B	C	D	E			

タイトル	年	月	日	版	承認	査閲	担当	登録番号
								参照番号
	A	B	C	D	E			作成者

人為変数を出来るだけ基底から追出す工夫は MCNP で追加される
カラムの総数を押えるのに不可欠である。

1

1

2

2

3

3

4

4

5

5

6

6

7

7

A

B

C

D

E

タイトル	年 月 日	版	承認	査閲	担当	登録番号
LPの計算 (コンパクトタフ"ロ形式)						参照番号
						作成者
A	B	C	D	E		

PRIMAL $\bar{c}_j < 0 \& RVN(r) = \max\{RVN(l) | \bar{a}_{lj} = 1 \& \text{float}(\bar{b}_l) = \min_{i: \bar{a}_{ij} > 0} \frac{\text{float}(\bar{b}_i)}{\text{float}(\bar{a}_{ij})}\}$

を j, r に対し

$$\begin{aligned} x_{RVN(r)} : & \text{slack 变数, または} \\ \theta = \min_{i: \bar{a}_{ij} > 0} & \frac{\text{float}(\bar{b}_i)}{\text{float}(\bar{a}_{ij})} > 0 \end{aligned}$$

の時 \bar{a}_{rj} で pivot する。

$$\begin{aligned} x_{RVN(r)} : & \text{slack 变数の時は } NSB = NSB - 1 \\ & N1 = N1 - 1 \end{aligned}$$

PRIMAL での变数の check, uncheck は $CVN(j)$ の値の正負で行なう。

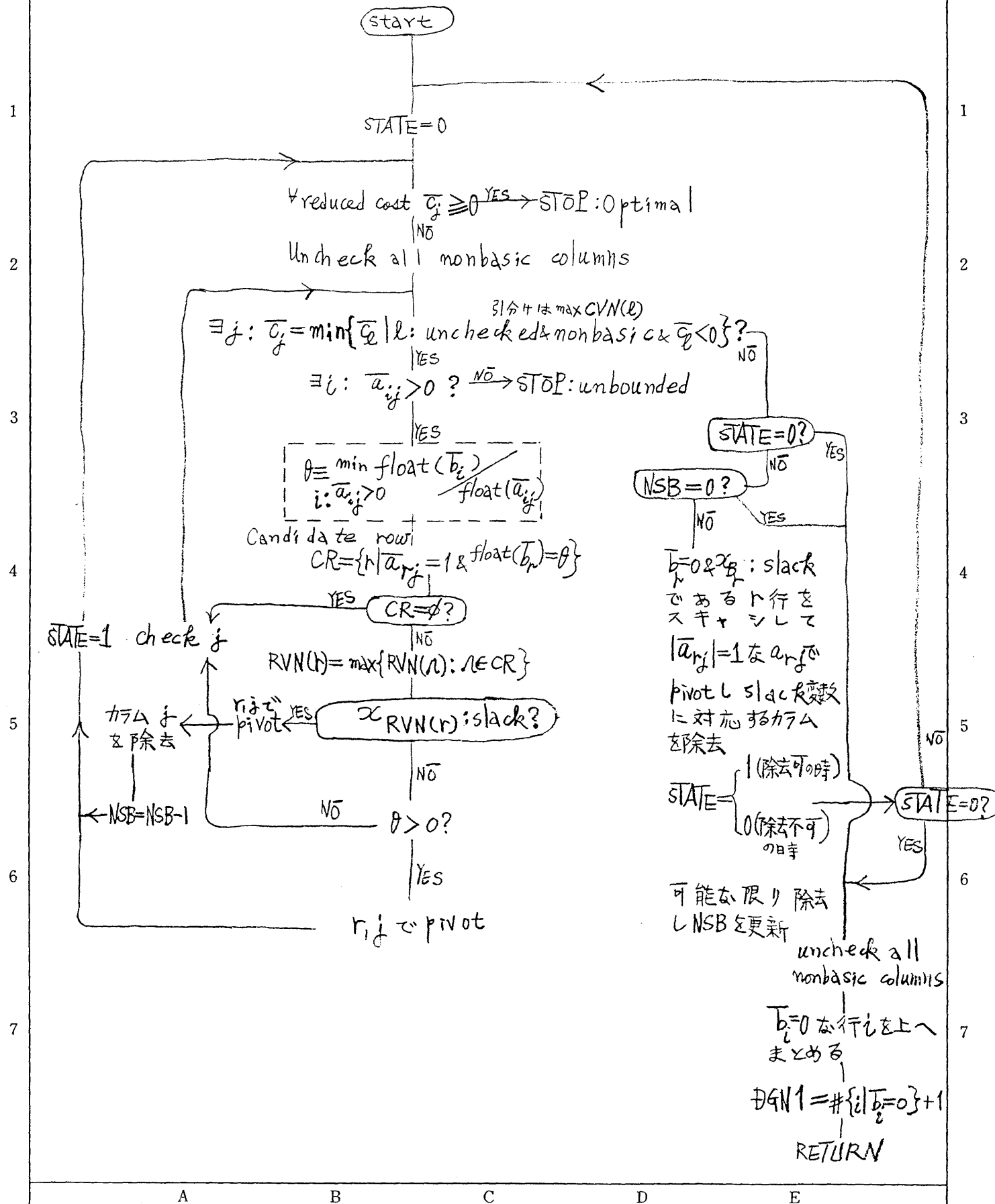
$$CVN(j) \begin{cases} > 0 & \text{--- unchecked} \\ < 0 & \text{--- checked} \end{cases}$$

従って $\text{abs}(CVN(j)) = \text{position } j \text{ にあるカラムに对応する变数 } x_j \text{ の添字 } i$.

$$H(j) = CVN(j) \text{ の } 1 \text{ の総数}, \sum_{i=1}^m a_{ij} CVN(j).$$

第 j 番目のカラムが pivot カラムにある毎に $H(j)$ を更新せよ。

タイトル コンパクトタブロ開式 PRIMAL フローチャート	年	月	日	版	承認	査閲	担当	登録番号
								参照番号
	A	B	C	D	E		作成者	



ページ 26

タ イ ド ル

DCE/E 形式

年	月	日	版	承認	査閲	担当	登録番号
による手計算例							参照番号

A	B	C	D	E
---	---	---	---	---

1

2

3

4

5

6

7

NSB=5

恒久ファイル
問題ファイル

CVN

コスト

A

H

1 2 3 4 5 6 7 8
x₁ x₂ x₃ x₄ x₅ x₆ x₇ x₈
3 7 5 8 10 4 6 9

1	1						
	1	1	1				
		1	1	1			
			1	1	1		
1	2	1	2	2	2	2	1

ファイル名=M00001.AO

matrix A original

NSB=0

寸借用ファイル
併用ファイル

CVN

1 4 8

カラム場所

A

H

1 2 3 4

1			
	1		
		1	
			1
1	2	1	

ファイル名=M00001.AAB

RVN

1	7	8	5	4	8
2	0	1	-1	-1	
6	1	-1	2	1	
4	1	0	0	1	
5	1	1	0	0	
3	0	-1	1	0	

DGN=3

A

B

C

D

E

年	月	日	版	承認	査閱	担当

登録番号

参考番号

作成者

E

D

C

B

A

1

2

3

4

5

6

7

H	1	2	1
A	1		
Q	1	4	8

PQ	1	2	3	4
----	---	---	---	---

CSRT	2	3	4
	1	2	3

RVN	1	8	-5	+4	+8
B	2	0	1	-1	-1
H	6	1	-1	2	1
N	4	1	0	0	1
V	5	1	1	0	0
A	3	0	-1	1	0

1	2	2
1	1	3

(PS, NG)	0	2	2
	1	0	3

(PS, NG)	0	2	2
	1	0	3

 $t=2$

$$r = \min \{ PS(i) * NG(i) \mid PS(i) > 0 \& a_{it} > 0 \}$$

$$= 2$$

$$S_t^1 = \{ j \in J \mid \bar{a}_{rj} < 0 \& a_{tj} = 0 \} = \{ 3, 4 \}$$

$$S_t^2 = \{ 3, 4 \}$$

$$S_t = \{ 3, 4 \}$$

MGP は
必要ない。

x_1 列を除去
 $H, TA, Q, PQ, T, CSRT,$
 (PS, NG) を更新
 $S_t \rightarrow \{ 2, 3 \}$

CSC 無力
 $\{ x_1, x_4 \}$ を
 H, TA, Q, PQ, T に追加
 better integer vertex

H	1	2	1
A	1		
Q	1	4	8

T	1	2	1	3
A	1			
Q	1	4	8	

PS	1	2	1	3
A	1			
Q	1	4	8	

XG	4	8	1	4
A	1	2	3	5

PS	4	2	3
A	1	2	3

PS	18	+4	+8	-1
A	0	-1	-1	0
Q	1	2	1	1
PQ	1	0	1	0
T	5	1	0	1

PS	0	2	2
A	1	0	3

タクトル

年 月 日 版 承認 査閲 担当 登録番号

参照番号
作成者

A B C D E

1

2

3

4

5

6

7

H	1	2	1
A	1		
			1
			1

H	2	2	1
A	1	1	
	1		
	1		

H	2	2	1
A	1	1	
	1		
	1		

RVN

CVN	1	4	8
RVN	1	2	3
	1	-18	-5 +4 +18
	5	2	0 (1) -1 -1
	3	6	1 -1 2 1
	7	4	1 0 0 1
	2	5	1 1 0 0
	6	3	0 -1 1 0

CVN	5	4	8
RVN	1	48	+5 -1 +3
	1	2	0 1 -1 -1
	3	6	1 1 0
	7	4	1 0 1
	2	5	1 -1 1
	6	3	0 1 0 -1

CVN	5	2	8
RVN	1	7	+4 +1 +4
	2	1	0 1 0
	3	6	0 2 -1 -1
	7	4	1 0 0 1
	4	5	1 -1 1 1
	6	3	0 1 0 -1

Block Pivot

Base in する
変数は x_4, x_1
に決定
 $J_1 \cap Q_2 = \{x_1, x_4\}$

最終的に x_4 は
base でない
ならばならぬ
が x_4 : out

x_4 : in
で feasible
integer tableau
に。

一度 base in した
変数は Block pivot
中すと base の中
に出ておいてもよ
い? 良いといふ保証
はない。1979.2.5.

Optimal
FINAL = 40
STOP

タ イ ハ ル

ペー ジ 29 /

年	月	日	版	承認	査閲	担当	登録番号
							参照番号

作成者

1

2

3

4

5

6

7

H
A

1	2	1
1		
1		

2	2	1
1	1	
1		

2	1	1
1	1	
1		

A

B

C

D

E

RVN

CVN			
1	2	3	4
1	8	-5	+4 +8
2	0	(1)	-1 -1
3	6	1	-1 2 1
7	4	1	0 0 1
2	5	1	1 0 0
6	3	0	-1 1 0

CVN			
1	2	3	4
1	8	+5 -1 +3	
2	0	1 -1 -1	
3	6	1 ① 0	
7	4	1 0 0	-1
2	5	1 -1 1	-1
6	3	0 1 0	-1

CVN			
1	2	3	4
1	7	+6 +1 +3	
2	1	2 1 -1	
3	6	1 1 0	
4	7	1 0 0	1
2	5	0 -2 -1	1
6	3	0 1 0	-1

Block Pivot

Optimal

FINAL = 40
STOP

7

6

5

4

3

2

1

ページ 30 /

タトトル

年	月	日	版	承認	査閲	担当
						登録番号
						参照番号

作成者

A B C D E

1

2

3

4

5

6

7

H	1	2	1
A	1	1	1
	1		
	1		

2	2	1
	1	
	1	1

2	1	1
	1	
	1	

CVN	1	4	8
	1	2	3
	8	5	+4+8
1	-1	0	
2	0	1	-1
3	1	-1	2
4	1	0	0
5	1	1	0
6	0	(-1)	1
7	0	1	0
2	6	3	0
6	3	0	(-1)

RVN	6	4	8
	1	8	5
	2	0	-1
1	8	5	+1+8
2	0	7	0
3	1	-1	1
4	1	0	1
5	1	0	1
6	1	1	0
7	1	0	0
2	5	1	0
3	0	-1	(-1)

	6	1	8
	1	8	-4-1+8
1	2	0	1
2	0	1	0
3	1	-2	1
4	1	0	1
5	1	0	1
6	1	0	0
7	1	0	1
2	5	1	0
3	0	1	-1

Block Pivot

不適

バックトラック

A B C D E

7

6

5

4

3

2

1

年	月	日	版	承認	査閱	担当	登録番号
							参考番号
A	B	C	D	E			作成者

1

2

3

4

5

6

7

H	A	1	2	1	1	1
		1		1		
				1		
					1	

2	2	1	1	1	1	1
		1		1		
			1		1	
				1	1	

1	1	1	1	1	1	1
		1		1		
			1		1	
				1	1	

CVN

1	2	3	4
1	8	-5	+4+8
2	0	1	-1-1
3	1	-1	2
4	1	0	0
5	1	1	0
6	3	0	1

RVN

1	2	3	4
1	8	-5	+4+8
2	0	1	-1-1
3	1	-1	2
4	1	0	0
5	1	1	0
6	3	0	1

1	2	3	4
1	8	-5	+4+8
2	0	1	-1-1
3	1	-1	2
4	1	0	0
5	1	1	0
6	3	0	1

1	2	3	4
1	7	-4	+1+8
2	0	1	0-1
3	6	0	-2-1
4	1	0	1
5	3	1	1
6	4	1	0
7	2	1	0
8	1	-1	0

Block Pivot

Optimal ではないが
適している。

(PS, NG)	2	1	1
6	1	2	1

以下 MCGP を実行する。

A B C D E

タイトル	年	月	日	版	承認	査閲	担当	登録番号				
II.5 LPの計算例 (フルタブル形式)		G.N. p.315				注: $x_0 = cx = -\text{右}$						
								参照番号				
								作成者				
A	B	C	D	E								
コスト	1 2 3 4 5 6 7 8 $x_1 x_2 x_3 x_4 x_5 x_6 x_7 x_8 x_9 x_{10} x_{11} x_{12} x_{13}$ 3 7 5 8 10 4 6 9 53 53 53 53 Min.	1 1 1 1 1 1 1 1 1 1 1 1 1	1 1 1 1 1 1 1 1 1 1 1 1 1	1 1 1 1 1 1 1 1 1 1 1 1 1	1 1 1 1 1 1 1 1 1 1 1 1 1	1 1 1 1 1 1 1 1 1 1 1 1 1	1 1 1 1 1 1 1 1 1 1 1 1 1	1 1 1 1 1 1 1 1 1 1 1 1 1				
1												
2	$x_0 = 265$ x_9 x_{10} $x_{11} = 1$ x_{12} x_{13}	-1 50 99 48 98 96 102 100 1 1 1 1 1 1 1 1 1 1 1 1 1 1 1 1	1 2 3 4 5 $x_6 x_7 x_8 x_9 x_{10} x_{11} x_{12} x_{13}$ 1 50 99 48 98 96 102 100 44 0 0 0 0 0 265 0 1 1 1 1 1 1 1 1 1 1 1 1 1 1 1 0 1 1 1 1 1 1 1 1 1 1 1 1 1 1 1	1 2 3 4 5 $x_6 x_7 x_8 x_9 x_{10} x_{11} x_{12} x_{13}$ 1 50 99 48 98 96 102 100 44 0 0 0 0 0 265 0 1 1 1 1 1 1 1 1 1 1 1 1 1 1 1 0 1 1 1 1 1 1 1 1 1 1 1 1 1 1 1	1 2 3 4 5 $x_6 x_7 x_8 x_9 x_{10} x_{11} x_{12} x_{13}$ 1 50 99 48 98 96 102 100 44 0 0 0 0 0 265 0 1 1 1 1 1 1 1 1 1 1 1 1 1 1 1 0 1 1 1 1 1 1 1 1 1 1 1 1 1 1 1	1 2 3 4 5 $x_6 x_7 x_8 x_9 x_{10} x_{11} x_{12} x_{13}$ 1 50 99 48 98 96 102 100 44 0 0 0 0 0 265 0 1 1 1 1 1 1 1 1 1 1 1 1 1 1 1 0 1 1 1 1 1 1 1 1 1 1 1 1 1 1 1	1 2 3 4 5 $x_6 x_7 x_8 x_9 x_{10} x_{11} x_{12} x_{13}$ 1 50 99 48 98 96 102 100 44 0 0 0 0 0 265 0 1 1 1 1 1 1 1 1 1 1 1 1 1 1 1 0 1 1 1 1 1 1 1 1 1 1 1 1 1 1 1	1 2 3 4 5 $x_6 x_7 x_8 x_9 x_{10} x_{11} x_{12} x_{13}$ 1 50 99 48 98 96 102 100 44 0 0 0 0 0 265 0 1 1 1 1 1 1 1 1 1 1 1 1 1 1 1 0 1 1 1 1 1 1 1 1 1 1 1 1 1 1 1	1 2 3 4 5 $x_6 x_7 x_8 x_9 x_{10} x_{11} x_{12} x_{13}$ 1 50 99 48 98 96 102 100 44 0 0 0 0 0 265 0 1 1 1 1 1 1 1 1 1 1 1 1 1 1 1 0 1 1 1 1 1 1 1 1 1 1 1 1 1 1 1			
3												
4	$x_0 = 163$ x_9 x_{10} $x_{11} = 0$ x_{12} x_6	-1 50 -3 48 -4 96 -102 100 1 1 1 1 1 1 1 1 1 1 1 1 1 1 1 1 -1 -1 1 1 -1 1 1 1 1 1 1 1 1 1 1 1 1 1 1 1 1 1 1 1	1 2 3 4 5 $x_6 x_7 x_8 x_9 x_{10} x_{11} x_{12} x_{13}$ 1 50 -3 48 -4 96 0 100 44 0 0 0 0 163 1 1 1 1 1 1 1 1 1 1 1 1 1 1 1 -1 -1 1	1 2 3 4 5 $x_6 x_7 x_8 x_9 x_{10} x_{11} x_{12} x_{13}$ 1 50 -3 48 -4 96 0 100 44 0 0 0 0 163 1 1 1 1 1 1 1 1 1 1 1 1 1 1 1 -1 -1 1	1 2 3 4 5 $x_6 x_7 x_8 x_9 x_{10} x_{11} x_{12} x_{13}$ 1 50 -3 48 -4 96 0 100 44 0 0 0 0 163 1 1 1 1 1 1 1 1 1 1 1 1 1 1 1 -1 -1 1	1 2 3 4 5 $x_6 x_7 x_8 x_9 x_{10} x_{11} x_{12} x_{13}$ 1 50 -3 48 -4 96 0 100 44 0 0 0 0 163 1 1 1 1 1 1 1 1 1 1 1 1 1 1 1 -1 -1 1	1 2 3 4 5 $x_6 x_7 x_8 x_9 x_{10} x_{11} x_{12} x_{13}$ 1 50 -3 48 -4 96 0 100 44 0 0 0 0 163 1 1 1 1 1 1 1 1 1 1 1 1 1 1 1 -1 -1 1	1 2 3 4 5 $x_6 x_7 x_8 x_9 x_{10} x_{11} x_{12} x_{13}$ 1 50 -3 48 -4 96 0 100 44 0 0 0 0 163 1 1 1 1 1 1 1 1 1 1 1 1 1 1 1 -1 -1 1				
5												
6												
7	$x_0 = 66$ x_9 x_{10} $x_{11} = 1$ x_{12} x_6	-1 50 -97 48 -1 93 -99 -3 0 1 -1 -1 ① -1 1 -1 1 1 1 1 1 1 1 1 1 0 0 0 0 0 1 1 1 1 1 -1 1 1 1 1 0 -1 0 1 0 1 -1	4 5 3 1 2 4 $x_6 x_7 x_8 x_9 x_{10} x_{11} x_{12} x_{13}$ 1 50 0 48 -1 93 0 0 -53 0 0 -3 -97 -99 66 1 0 -1 ① -1 0 0 0 1 1 1 1 1 1 1 1 1 1 1 1 1 1 1 -1 1 1 1 1 1 1 1 1 1 1 1 0 0 1 1 -1 1 1 1 1 1 1 1 1 1 1	4 5 3 1 2 4 $x_6 x_7 x_8 x_9 x_{10} x_{11} x_{12} x_{13}$ 1 50 0 48 -1 93 0 0 -53 0 0 -3 -97 -99 66 1 0 -1 ① -1 0 0 0 1 1 1 1 1 1 1 1 1 1 1 1 1 1 1 -1 1 1 1 1 1 1 1 1 1 1 1 0 0 1 1 -1 1 1 1 1 1 1 1 1 1 1	4 5 3 1 2 4 $x_6 x_7 x_8 x_9 x_{10} x_{11} x_{12} x_{13}$ 1 50 0 48 -1 93 0 0 -53 0 0 -3 -97 -99 66 1 0 -1 ① -1 0 0 0 1 1 1 1 1 1 1 1 1 1 1 1 1 1 1 -1 1 1 1 1 1 1 1 1 1 1 1 0 0 1 1 -1 1 1 1 1 1 1 1 1 1 1	4 5 3 1 2 4 $x_6 x_7 x_8 x_9 x_{10} x_{11} x_{12} x_{13}$ 1 50 0 48 -1 93 0 0 -53 0 0 -3 -97 -99 66 1 0 -1 ① -1 0 0 0 1 1 1 1 1 1 1 1 1 1 1 1 1 1 1 -1 1 1 1 1 1 1 1 1 1 1 1 0 0 1 1 -1 1 1 1 1 1 1 1 1 1 1	4 5 3 1 2 4 $x_6 x_7 x_8 x_9 x_{10} x_{11} x_{12} x_{13}$ 1 50 0 48 -1 93 0 0 -53 0 0 -3 -97 -99 66 1 0 -1 ① -1 0 0 0 1 1 1 1 1 1 1 1 1 1 1 1 1 1 1 -1 1 1 1 1 1 1 1 1 1 1 1 0 0 1 1 -1 1 1 1 1 1 1 1 1 1 1	4 5 3 1 2 4 $x_6 x_7 x_8 x_9 x_{10} x_{11} x_{12} x_{13}$ 1 50 0 48 -1 93 0 0 -53 0 0 -3 -97 -99 66 1 0 -1 ① -1 0 0 0 1 1 1 1 1 1 1 1 1 1 1 1 1 1 1 -1 1 1 1 1 1 1 1 1 1 1 1 0 0 1 1 -1 1 1 1 1 1 1 1 1 1 1				

タイトル	年 月 日	版	承認	査閲	担当	登録番号
						参照番号
						作成者
A	B	C	D	E		
x_0	66	- x_1 - x_3 -4 48	\downarrow^2 \downarrow^1x x_2 x_3 x_4 - x_9 - x_{13} - x_{11} - x_8 x_6 x_9 x_2 x_3 x_4 x_5 x_8 x_{13} x_9 x_{10} x_1 x_2 x_3	\downarrow^4 \downarrow^1x 1 5 3 2		
x_5	0	1 -1	-1 1 -1 1	-1	1 -1 1 -1 1 1	0
x_{10}	1	-1 1	⑦ 2 -1 1 -1	1	1 ① 2 0 1 -1 1 -1 1 1	1
$x_7 =$	1	1	0	1	1 1 1 1	1
x_2	1	1	0 1	0	1 1 1	1
x_6	0	-1	1 -1 1	0	-1 1 1 -1	1 0
x_0	18	- x_1 - x_2 - x_{10} - x_4 - x_9 - x_{13} - x_{11} - x_8 x_6 x_9 x_2 x_3 x_4 x_5 x_8 x_{13} x_9 x_{10} x_1 x_2 x_3	\downarrow^1x 4 2 1 5 3			
x_5	5	-52 -48	-4 -45 -54	-48 -8	5 0 0 4 0 0 0 -8 45 43 48 32 54 18	2
x_3	0	1 -1	-1 1 -1 1	-1	1 -1 1 -1 1 1	0
$x_7 =$	1	-1 1	1 2 -1 1 -1	1	-1 1 2 1 -1 1 -1 1 1	1
x_2	1	1	0 1	0	1 1 1	1
x_6	0	-1	1 -1 1	0	-1 1 1 -1	1 0
注:	人為変数の reduced cost は計算しなくてよい。 人為変数かどうかを check する時間の増加が 人為変数の reduced cost を計算し直すことによる時間の節約を越えてないとの確認が必要。					3
4	基底 \downarrow^1 計算加正 し直すことの確認: O.K.					4
5						5
6						6
7						7
	A	B	C	D	E	

タイトル	年 月 日	版	承認	査閲	担当	登録番号
						参考番号
						作成者
A	B	C	D			E

χ_3 行と χ_6 行との交換

	x_1	x_2	x_{10}	x_4	x_9	x_3	x_{11}	x_8	x_6	x_1	x_2	x_3	x_4	x_5	x_6	x_7	x_8	x_9	x_{10}	x_{11}	x_{12}	x_{13}	
x_0	18	5	-52	-48	-4	-45	-54	-48	-8	1	5	0	0	-4	0	0	0	-8	-45	-43	-48	-52	-54
x_5	0	1	-1		-1	1	-1	1	-1		1			-1	1	1	-1	1	1	-1	-1	-1	0
x_6	0	-1			1	-1	1				-1			1	1	1	-1				1	0	
x_7	1		1						1							1	1				1	1	
x_2	1	1				1					1	1							1			1	
x_3	1	-1	1	1	2	-1	1	-1	1		-1	1	2				1	-1	1	-1	1	1	

$$\begin{matrix} x_5 & x_3 & x_7 & x_2 & x_6 \\ \hline 1 & 2 & 3 & 4 & 5 \end{matrix} \quad -1 = \left(\begin{array}{ccccc|c} 1 & 1 & 1 & 1 & 1 & 1 \\ 2 & -1 & 1 & -1 & 1 & 1 \\ 3 & & & & & 1 \\ 4 & & & & 1 & \\ 5 & & & & -1 & 1 \end{array} \right)$$

新しい基底の逆行列

$$\begin{matrix} x_5 & x_6 & x_7 & x_2 & x_3 \\ 1 & 2 & 3 & 4 & 5 \end{matrix} \begin{matrix} -1 \\ \\ \\ \\ \end{matrix} = \begin{matrix} 1 \\ 1 \\ 1 \\ 1 \\ 1 \\ \end{matrix} \quad \begin{matrix} 1 & 1 & 1 & -1 & -1 \\ -1 & & & & 1 \\ 3 & & & & 1 \\ 4 & 1 & & & \\ 5 & -1 & 1 & -1 & 1 \end{matrix} \quad \text{BINV}$$

$$\begin{pmatrix} b_{11} & b_{1s} & \dots & b_{1t} & b_{1m} \\ \vdots & \vdots & & \vdots & \vdots \\ b_{m1} & b_{ms} & \dots & b_{mt} & b_{mm} \end{pmatrix}^{-1} = \begin{matrix} 1) \\ s) \\ t) \\ m) \end{matrix} \begin{pmatrix} b_{11} & \dots & b_{1m} \\ b_{s1} & \dots & b_{sm} \\ \vdots & & \vdots \\ b_{t1} & \dots & b_{tm} \\ b_{m1} & \dots & b_{mm} \end{pmatrix}, \quad \begin{pmatrix} b_{11} & b_{1s} & \dots & b_{1t} & b_{1m} \\ \vdots & \vdots & & \vdots & \vdots \\ b_{m1} & b_{ms} & \dots & b_{mt} & b_{mm} \end{pmatrix}^{-1} \begin{pmatrix} a_1 \\ a_s \\ a_t \\ a_m \end{pmatrix} = \begin{pmatrix} \bar{a}_1 \\ \bar{a}_s \\ \bar{a}_t \\ \bar{a}_m \end{pmatrix}$$

$$\Rightarrow \begin{pmatrix} b_{11} & \dots & b_{1t} & \dots & b_{1S} & \dots & b_{1m} \\ \vdots & & \vdots & & \vdots & & \vdots \\ b_{m1} & b_{mt} & b_{mS} & b_{mm} \\ \hline 1 & s & t & m \end{pmatrix}^{-1} = \begin{matrix} 1) \\ s) \\ t) \\ m) \end{matrix} \begin{pmatrix} \overline{b}_{11} & \dots & \overline{b}_{1m} \\ \vdots & & \vdots \\ \overline{b}_{t1} & \dots & \overline{b}_{tm} \\ \vdots & & \vdots \\ \overline{b}_{s1} & \dots & \overline{b}_{sm} \\ \vdots & & \vdots \\ \overline{b}_{m1} & \dots & \overline{b}_{mm} \end{pmatrix}, \quad \begin{pmatrix} b_{11} & \dots & b_{1t} & \dots & b_{1S} & \dots & b_{1m} \\ \vdots & & \vdots & & \vdots & & \vdots \\ b_{m1} & b_{mt} & b_{mS} & b_{mm} \\ \hline 1 & s & t & m \end{pmatrix}^{-1} \begin{pmatrix} a_1 \\ a_s \\ a_t \\ a_m \end{pmatrix} = \begin{pmatrix} \overline{a}_1 \\ \vdots \\ \overline{a}_t \\ \vdots \\ \overline{a}_m \end{pmatrix}$$

タイトル	年	月	日	版	承認	査閲	担当	登録番号
								参照番号
								作成者
A	B	C	D	E				

実際 $\sum_{k=1}^m b_i k b_{kj} = \delta_{ij}$ $P = \begin{pmatrix} 1 & s & t & \cdots & m \\ p_1 & p_s & p_t & \cdots & p_m \end{pmatrix} = \begin{pmatrix} 1 & \downarrow & \downarrow & \cdots & m \\ \downarrow & t & s & \cdots & \end{pmatrix}, \quad p_s = t, p_t = s, p_j = j (j \neq s, t)$

↓

1 1

$$\sum_{k=1}^m b_i p_k b_{pj} = \sum_{\substack{k=1 \\ k \neq s, t}}^m b_i p_k b_{pj} + b_i p_s b_{sj} + b_i p_t b_{tj}$$

2 2

$$= \sum_{\substack{k=1 \\ k \neq s, t}}^m b_i k b_{pj} + b_i t b_{tj} + b_i s b_{sj}$$

3 3

$$= \sum_{k=1}^m b_i k b_{kj} = \delta_{ij}$$

よって 現在の simplex tableau の行だけを全部 (逆行列及び RHS) 交換すれば良い。元々の係数行列はそのままよい。

A	B	C	D	E
1	2	3	4	5
6	7			

タイトル	年	月	日	版	承認	査閲	担当	登録番号
								参照番号
	A	B	C	D	E			作成者

Balas & Padberg, "On the Set-Covering Problem," Oper. Res. 20, 1152-1161 (1972).

¹ Balas & Padberg, "On the Set-Covering Problem: II An Algorithm for Set Partitioning," Ops. Res. 23, 74-90 (1975)

²

³

⁴

⁵

⁶

⁷

A	B	C	D	E
---	---	---	---	---

